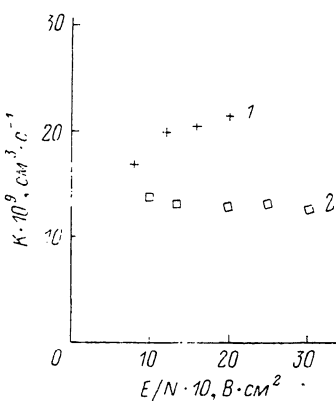


Следует отметить, что карбонилы железа и никеля являются сильными прилипателями. Добавление 0.01 Тор карбонилов снижает ток разряда в несколько раз, а при добавлении 1 Тор карбонилов ток разряда становится порядка тока пучка быстрых электронов.

Эксперименты показали, что величина частоты прилипания практически линейно увеличивается с ростом давления карбонилов, а при увеличении давления азота можно отметить некоторую тенденцию к росту частоты прилипания, которая, впрочем, находится в пределах ошибки наших измерений.



На рисунке приведены зависимости констант прилипания электронов к карбонилам железа (2) и никеля (1), определенным как  $K = v_a / n$ , где  $n$  — плотность паров карбонила (проведено усреднение по всем давлениям азота) от величины приведенной напряженности электрического поля  $E/N$  ( $N$  — плотность азота). Видно, что значения  $K$  для обоих карбонилов близки и в исследованном диапазоне слабо зависят от  $E/N$ , а их величина имеет порядок  $10^{-8}$  см<sup>3</sup>·с<sup>-1</sup>, что существенно ближе к данным [1], чем к [2]. Следует отметить различное влияние этих двух карбонилов на устойчивость разряда:  $\text{Fe}(\text{CO})_5$  приводит к увеличению предельно достижимых значений  $E/N$  (по сравнению с чистым азотом), а  $\text{Ni}(\text{CO})_4$  приводит к их уменьшению.

Оценки роли прилипания электронов к карбонилам в условиях, типичных для непрерывных CO лазеров с накачкой несамостоятельным разрядом [6], показывают, что наличие примеси карбонилов на уровне 1 ppm является существенным, поэтому необходимо предъявлять очень высокие требования к очистке CO от примесей карбонилов, допустимая концентрация которых не должна превышать 0.1 ppm. Учитывая, что карбонилы эффективно образуются в металлических баллонах, содержащих CO под давлением [7], по-видимому, целесообразно применять дополнительную очистку CO непосредственно перед подачей в установку.

Отметим, что измерения концентраций карбонилов в баллонах с CO, проведенные с помощью абсорбционной ИК спектроскопии, показали, что концентрация  $\text{Fe}(\text{CO})_5$  находится на уровне 0.5 ppm, а  $\text{Ni}(\text{CO})_4$  — 25 ppm.

### Список литературы

- [1] George P. M., Beauchamp Y. L. // J. Chem. Phys. 1982. Vol. 76. P. 2959—2964.
- [2] Lee M., Res Y. // Nat. Bur. Std. 1963. Vol. 67. P. 360—366.
- [3] Кочетов И. В., Шакин Л. В., Шашков В. М. // ЖТФ. 1984. Т. 54. Вып. 7. С. 1270—1273.
- [4] Хаксли Л., Кромптон Р. Диффузия и дрейф электронов в газах. М.: Мир, 1974. 672 с.
- [5] Смирнов Б. М. Ионы и возбужденные атомы в плазме. М.: Атомиздат, 1974. 456 с.
- [6] Аверин А. П., Басов Н. Г. и др. // Квантовая электрон. 1982. Т. 9. № 12. С. 2357—2358.
- [7] Сыркин В. Г. Карбонилы металлов. М.: Химия, 1983. 198 с.

Поступило в Редакцию  
19 декабря 1988 г.

### ДВУХСТУПЕНЧАТЫЙ ЦИЛИНДРИЧЕСКИЙ ЗЕРКАЛЬНЫЙ ЭНЕРГОАНАЛИЗАТОР: АППАРАТНАЯ ФУНКЦИЯ ПРИ НЕОСЕВЫХ ИСТОЧНИКАХ

B. A. Горелик, A. A. Николаев

В настоящей работе проведен расчет аппаратных функций двухступенчатого цилиндрического зеркального энергоанализатора (ДСЦЗА) с системой предварительного торможения в виде сферических сеток [1]. Рассмотрены ДСЦЗА с точечными неосевыми источниками при

различных степенях торможения заряженных частиц. Цель работы состояла в том, чтобы оценить точность регистрации спектров в различных экспериментальных условиях. Расчет аппаратных функций проведен методом Монте-Карло [2].

Половина продольного сечения системы предварительного торможения и начальный участок траектории электрона, испущенного точечным источником  $S_1$  ( $OS_1 = d_1$ ), показаны на рис. 1. Экранирующая сетка 1 имеет радиус  $r_1$  и находится под потенциалом земли, тормозящая сетка 2 имеет радиус  $r_2$  и находится под потенциалом  $V_2$  внутреннего цилиндра.

Направление вылета электрона задается двумя углами  $\theta_1$  и  $\varphi_1$ , которые отсчитываются от осей  $z$  и  $x$  системы координат  $xyz$ . Ось  $z$  совпадает с осью ДСЦЗА, ось  $x$  проходит через точку испускания электронов. Центр сферических сеток находится в начале координат.  $\theta_1$  — угол между осью  $z$  и вектором начальной скорости электрона,  $\varphi_1$  — угол между осью  $z$  и проекцией вектора начальной скорости на плоскость  $xy$ . Выбор таких углов удобен для машинного счета, поскольку для точечного изотропного источника величины  $\varphi_1$  и  $\cos \theta_1$  распределены равномерно в интервалах  $(0; 2\pi)$  и  $(-1; 1)$  соответственно. В силу симметрии задачи использовались интервалы  $(0; \pi)$  и  $(0; 1)$ .

Движение электрона в сферическом тормозящем поле происходит в плоскости, положение которой определено вектором начальной скорости и центром сферических сеток. С момента вылета электрона из сферического поля до влета в пространство между цилиндрами электрон движется в бесполевом пространстве по прямой траектории. Пересечение этой прямой с осью  $x$  дает точку  $S$ . Таким образом, можно считать, что электрон вылетает из этой точки в направлении, определяемом углами  $\theta$  и  $\varphi$  (имеющими тот же смысл, что  $\theta_1$  и  $\varphi_1$ ), и движется без отклонения в сферическом поле. Это позволяет перейти к уже решенной задаче о движении неаксиального электрона в поле ЦЗА [3]. Значения  $d$  ( $d=OS$ ),  $\theta$  и  $\varphi$  определяются формулами

$$\begin{aligned} d &= \pm r_2 \sin \gamma_2 / \sin \theta, \\ \cos \varphi &= \cos \varphi_2 / \sin \theta, \\ \cos \theta &= \cos \theta_1 \sin \varphi_2 / \sin \varphi_1, \end{aligned} \quad (1)$$

где

$$\begin{aligned} \tilde{\varphi}_2 &= \varphi_1 \pm (\gamma_2 - \gamma_1 + \omega), \\ \cos \tilde{\varphi}_1 &= \sin \theta_1 \cos \varphi_1, \\ \sin \gamma_2 &= r_1 \sin \gamma_1 M^{1/2} / r_2, \\ \sin \gamma_1 &= d_1 \sin \varphi_1 / r_1, \\ \omega &= \arccos \left\{ (r_1 \sin^2 \gamma_1 / r_2 - q) / [q^2 + (1 - 2q) \sin^2 \gamma_1]^{1/2} \right\} - \\ &- \arccos \left\{ (\sin^2 \gamma_1 - q) / [q^2 + (1 - 2q) \sin^2 \gamma_1]^{1/2} \right\}, \\ q &= 2M (1 - r_1/r_2) / (M - 1), \end{aligned} \quad (2)$$

$M$  — число, показывающее во сколько раз заторможены электроны.

В формулах (1) и (2) необходимо брать знак плюс, если  $0 \leq \varphi_1 < \pi/2$ , и знак минус, если  $\pi/2 < \varphi_1 < \pi$ . Дальнейший расчет проводится по формулам работы [3]. Аппаратная функция  $T(k)$  анализатора определяется как доля электронов, достигших коллектора от большого числа (1000) электронов, испущенных источником по всевозможным направлениям в телесный угол  $2\pi$  одинаковой приведенной энергией  $k = E \ln(b/a) (V_3 - V_2)$ . Здесь  $E$  — энергия электронов, прошедших тормозящее поле;  $V_3$  — потенциал внешнего цилиндра;  $a$  и  $b$  — радиусы внутреннего и внешнего цилиндров соответственно.

На рис. 2, 3 приведены результаты машинного счета для ДСЦЗА со следующей геометрией. Радиусы экранирующей и тормозящей сеток равны 0.96 и 1.097. Координаты четырех окон во внутреннем цилиндре 0.9 и 1.38; 4.98 и 5.1; 6.89 и 7.45; 10.76 и 11.1. На выходе первой ступени ( $z=6.02$ ) помещена дырочная диафрагма с радиусом 0.037; на выходе второй ступени ( $z=11.85$ ) помещена кольцеобразная диафрагма с радиусом 0.16. Классический ДСЦЗА с диапазоном входных углов  $\pm 6^\circ$  имеет ширину щели кольцеобразной диафрагмы 0.07 и обеспечивает базовое энергетическое разрешение  $R=0.6\%$ . В данной работе рассмотрен ДСЦЗА с переменным энергетическим разрешением, которое регулируется изменением ширины щели кольцеобразной диафрагмы. Результаты, приведенные на рис. 2, 3, соответ-

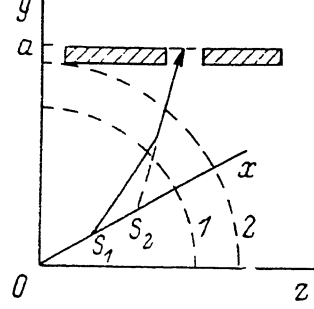


Рис. 1.

ствуют ширине щели 0.013 ( $R=0.25\%$ ). Все геометрические параметры выражены в единицах внешнего радиуса внутреннего цилиндра ДСЦЗА, т. е.  $a=1$ .

При удалении точечного источника от оси анализатора и сохранении постоянным коэффициентом торможения происходит уменьшение величины максимума аппаратной функции и ее сдвиг по шкале энергии (рис. 2). Подобный же эффект имеет место, если увеличивать степень торможения при фиксированном расстоянии от источника до оси анализатора (рис. 3).

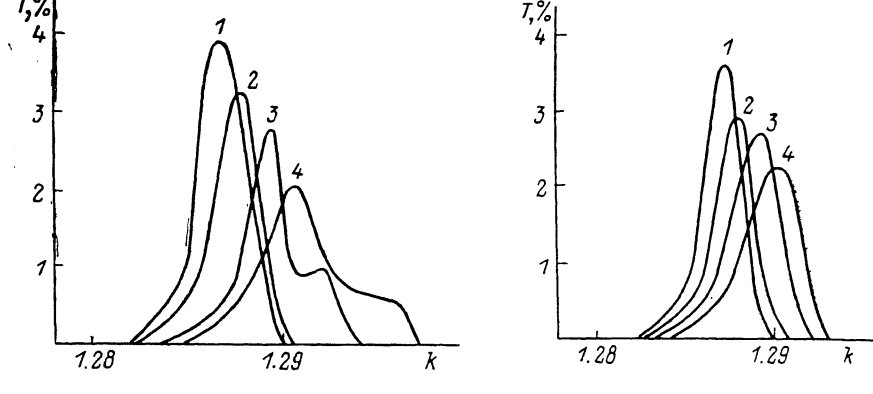


Рис. 2. Аппаратные функции ДСЦЗА с точечным источником при  $M=10$  и различных  $d_1/a$ .  
1 — 0, 2 — 0.003, 3 — 0.006, 4 — 0.009.

Рис. 3. Аппаратные функции ДСЦЗА с точечным источником при  $d_1/a=0.003$  и различных  $M$ .  
1 — 1, 2 — 10, 3 — 20, 4 — 30.

Аналогичные зависимости имеют место и для неточечного гауссова источника при росте его радиуса и увеличении степени торможения. Во всех выше перечисленных случаях наблюдаются уширение аппаратной функции и ее сдвиг в сторону больших энергий. При сильных степенях торможения или больших размерах источника это может полностью нивелировать выигрыш в разрешении от использования предварительного торможения.

### Выводы

1. В отличие от обычного цилиндрического зеркального анализатора в ДСЦЗА при удалении источника от оси анализатора происходит не только искажение аппаратной функции, но и ее сдвиг в сторону больших энергий. Это может привести к существенным ошибкам при определении соответствующих энергий связи.

2. При использовании неточечных источников (например, в рентгеноэлектронной спектроскопии) также происходит искажение формы аппаратной функции и ее сдвиг в сторону больших энергий. Если принять за критерий допустимых искажений уширение аппаратной функции вдвое, то предельный диаметр источника  $D$  и степень торможения  $M$  определяются из условия  $DM^{1/2} \leq D_0$ , где  $D_0$  — диаметр дырочной диафрагмы на выходе первой ступени.

### Список литературы

- [1] Palmberg P. W. // Vac. Sci. and Technology. 1975. Vol. 12. № 1. P. 37—39.
- [2] Горелик В. А., Машинский Ю. П., Пиковская Т. М. и др. // ПТЭ. 1979. № 1. С. 38—41.
- [3] Василевский Н. В., Горелик В. А., Протопопов О. Д. // ЖТФ. 1986. Т. 56. Вып. 9. С. 1802—1804.

Поступило в Редакцию  
9 января 1989 г.